

УДК 537.635

## ОСОБЕННОСТИ ДЕФЕКТООБРАЗОВАНИЯ ПОД ДЕЙСТВИЕМ $\gamma$ -ОБЛУЧЕНИЯ И ТЕРМООБРАБОТКИ В ЧИСТЫХ И ЛЕГИРОВАННЫХ МОНОКРИСТАЛЛАХ $\text{LiNbO}_3$

Г. Корради,<sup>1</sup> К. Полгар,<sup>1</sup> И. М. Зарицкий,  
Л. Г. Ракитина, Н. И. Дерюгина

Методом ЭПР проведено систематическое исследование процессов дефектообразования под действием  $\gamma$ -облучения и вакуумного отжига с последующей УФ-подсветкой в чистых и легированных примесями группы железа и редкоземельными элементами монокристаллах  $\text{LiNbO}_3$ . Установлено, что активную роль в процессах дефектообразования играют 3d-ионы (Ti, Mn, Ni, Cu), входящие в кристалл в различных зарядовых состояниях. Редкоземельные ионы, содержащие глубоко лежащие электроны 4f-оболочки, слабо взаимодействуют с окружением и (за исключением Tb) не играют активной роли в дефектообразовании. Точно так же пассивны в процессах дефектообразования локально-компенсированные 3d-ионы (например,  $\text{Cr}^{3+}$ ), входящие преимущественно в единственном зарядовом состоянии. Из результатов исследования дефектообразования при вакуумном отжиге  $\text{LiNbO}_3$  следует, что вероятнее всего из кристалла удаляются целиком молекулы  $\text{Li}_2\text{O}$ , так что отдельно F-центры (вакансии  $\text{O}^{2-}$ ) и ваканции  $\text{Li}^+$  не образуются.

Техническая важность ниобата лития вызывает широкий интерес к исследованию его различными методами. В связи с современными требованиями работы приборов в экстремальных условиях (высокие плотности лазерного излучения, ионизирующая радиация, высокие температуры) особый интерес представляют изучение процессов дефектообразования в материале под действием этих факторов и поиск способов повышения устойчивости материала по отношению к ним.

В связи с этим в настоящей работе проведено исследование спектров ЭПР чистых и легированных монокристаллов  $\text{LiNbO}_3$  до и после  $\gamma$ -облучения и термообработки с целью получения информации о процессах дефектообразования в них и относительной сопротивляемости материала этим факторам в зависимости от степени чистоты изучаемых образцов и типа легирующей примеси.

### 1. Экспериментальная часть

Нелегированные и легированные ионами группы железа (Ti, Cr, Mn, Ni, Cu) и редкоземельных элементов (Nd, Eu, Tb, Er) монокристаллы  $\text{LiNbO}_3$  выращивались в исследовательской лаборатории физики кристаллов АН Венгрии (г. Будапешт) с использованием автоматизированного, управляемого с помощью «фантома», метода Чохральского [1] с добавлением в расплав оксидов указанных примесей в концентрации  $10^{-3}$ — $10^{-4}$  моль/моль. Выращенные кристаллы отжигались в кислороде при  $T=1000^\circ\text{C}$  в течение нескольких часов с целью уменьшения числа вакансий кислорода, образующихся непосредственно после выращивания, и улучшения тем самым стехиометрии кристаллов.

<sup>1</sup> Исследовательская лаборатория физики кристаллов АН Венгрии (г. Будапешт).

Исследуемые образцы имели форму параллелепипедов, плоскости которых соответствовали с точностью до нескольких минут кристаллографическим направлениям  $X - [2\bar{1}10]$ ,  $Y - [0110]$ ,  $Z - [0001] \parallel C_3$ .

Для выяснения особенностей дефектообразования в  $\text{LiNbO}_3$  и получения примесных центров в определенном зарядовом состоянии исходные образцы подвергались  $\gamma$ -облучению ( $h\nu \approx 1.25$  МэВ) от источника  $^{60}\text{Co}$  дозой 10 Мрад при  $T = 77$  К.

Ряд образцов был отожжен в вакууме при  $T \approx 1000$  °С в течение 1 ч. После этого было проведено «обесцвечивание» образцов с помощью облучения светом в ультрафиолетовой области от ртутной лампы при  $T = 77$  К.

Эксперименты по изучению термостабильности парамагнитных дефектов и примесных центров в  $\text{LiNbO}_3$  с помощью изохронного отжига образцов проводились при  $T = 77 \div 520$  К. Спектры ЭПР исследовались в интервале температур  $T = 4.2 \div 300$  К на радиоспектрометре E-12 «Вариан» в  $X$  ( $\lambda \approx 3$  см)- и  $Q$  ( $\lambda \approx 0.8$  см)-диапазонах. Поскольку образовавшиеся в  $\text{LiNbO}_3$  после  $\gamma$ -облучения при  $T = 77$  К парамагнитные дефекты в большинстве случаев стабильны лишь при  $T \leqslant 150$  К [2], исследуемые образцы перемещались в резонатор радиоспектрометра, находящийся в криостате, без их отогрева выше 77 К.

## 2. Результаты эксперимента и их обсуждение

Как видно из табл. 1, все исходные образцы, включая и специально не легированный № 1, обнаруживают спектры ЭПР различной степени интенсивности, соответствующие идентифицированным либо неидентифицированным примесям. Отсутствие сигналов ЭПР вероятнее всего связано с тем, что они оказались в зарядовом состоянии, содержащем четное число электронов в  $d$ - или  $f$ -оболочках. Из факта отсутствия ЭПР в  $\text{LiNbO}_3$  с  $\text{Ti}$ ,  $\text{Eu}$ ,  $\text{Tb}$  (в том числе и при гелиевых температурах) можно предположить следующие зарядовые состояния этих ионов:  $\text{Ti}^{4+}$  ( $3d^0$ ),  $\text{Eu}^{3+}$  ( $4f^6$ ),  $\text{Tb}^{2+}$  ( $4f^8$ ).

После  $\gamma$ -облучения при 77 К и измерениях при 77 К у всех исследуемых образцов наблюдался новый спектр ЭПР. Его типичный вид представлен на рис. 1. Спектр состоит из широкой слабо разрешенной линии и 10-компонентного спектра, линии 3—6 которого перекрыты широкой линией и не наблюдаются. Их предполагаемые положения указаны и помечены номерами в скобках. Из сравнения с литературными данными [2-4]

Таблица 1

Экспериментальные данные по ЭПР в исходных образцах  $\text{LiNbO}_3$ , а также после  $\gamma$ -облучения при  $T = 77$  К, измерении при  $T = 77$  К  $H \parallel C_3$

Примесь	№ 1	$\text{Ti}^{4+}$ , $3d^0$	$\text{Cr}^{3+}$ , $3d^3$	$\text{Mn}^{2+}$ , $3d^5$	$\text{Ni}^{2+}$ , $3d^8$	$\text{Cu}^{2+}$ , $3d^9$	$\text{Nd}^{3+}$ , $4f^9$	$\text{Eu}^{(3+)}$ ( $4f^6$ )	$\text{Tb}^{(2+)}$ ( $4f^8$ )	$\text{Li}^{2+}$ , $1s^2$
До $\gamma$ -облучения	C-1	C-1	$\text{Cr}^{3+}$	$\text{Mn}^{2+}$	$\text{Ni}^{+}$	$\text{Cu}^{2+}$			C-1	$\text{Er}^{3+}$
После $\gamma$ -облучения	C-1	$\text{Ti}^{3+}$ , $3d^1$	$\text{Cr}^{3+}$	$\text{Mn}^{2+} \times$ $\times (2 \div 3)$	$\text{Mn}^{2+}$	C-1	$\text{Nd}^{3+}$	$\text{Fe}^{3+}$	Tb (?)	$\text{Er}^{3+}$
	O-	O-	O-	O-	$\text{Ni}^{2+}$ , $3d^9$	$\text{Cu}^{2+} \times 0.3$	$\text{Nd}^{3+}$	$\text{Fe}^{3+}$	O-	O-
	$\text{Nb}^{4+}$	$\text{Nb}^{4+}$	$\text{Nb}^{4+}$	—	$\text{Nb}^{4+}$	$\text{Nb}^{4+}$	$\text{Nb}^{4+}$	$\text{Nb}^{4+}$	$\text{Nb}^{4+}$	$\text{Nb}^{4+}$
$J(\text{O}^-)/J(\text{Nb}^{4+})$	8	50	12.5	—	—	12	14	15	2	12.5

Причесание. Кристаллы с редкоземельными примесями измерялись при 4.2 и 77 К. В скобках указаны предполагаемые значения зарядовых состояний отдельных ионов и конфигурации их электронных оболочек. C-1 — слабый неидентифицированный спектр, знак « $\times$ » означает соответствующее изменение интенсивности спектра.

широкая линия была приписана центрам  $O^-$ , а 10-компонентный спектр — центрам  $Nb^{4+}$ .

Из исследования угловой зависимости широкой линии ЭПР установлено, что  $g$ -фактор ( $g=2.030 \pm 0.001$ ) и ширина линии ЭПР ( $\Delta H_{pp}=15 \pm 1$  мТл) являются изотропными. Кроме того, нам впервые удалось наблюдать частично разрешенную суперверхтонкую структуру (ССТС) линии (рис. 1, 2), обусловленную взаимодействием захваченной дырки с окружающими ядрами  $^{93}Nb$  ( $I=9/2$ , распространность 100 %) и  $^{7}Li$ :  $^{7}Li$  ( $I=3/2$ ; 92.6 %),  $^{6}Li$  ( $I=1$ ; 7.4 %). Максимальное разрешение спектра достигается при  $H \parallel C_3$ , и ССТС практически полностью замывается при отходе от этого положения на  $\pm 5^\circ$ . Вообще следует отметить, что в силу особенностей структуры  $LiNbO_3$  все наблюдаемые в нем линии ЭПР имеют минимальную ширину при  $H \parallel C_3$ . В данном случае это относится к компонентам ССТС, но не к общей ширине линии ЭПР  $O^-$ , которая является

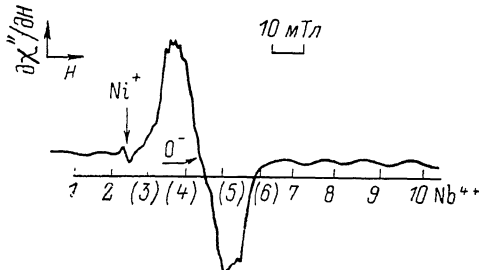


Рис. 1. Типичный вид спектра ЭПР, наблюдаемого в  $LiNbO_3$  после  $\gamma$ -облучения при 77 К.  $H \parallel C_3$ .

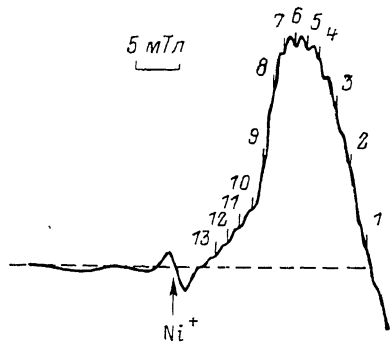


Рис. 2. Низкополевая часть производной широкой линии ЭПР (рис. 1), иллюстрирующая частичное разрешение ССТС, обусловленной взаимодействием дырки, захваченной в состояние  $O^-$ , с окружающими ядрами  $Nb$  и  $Li$ .  $H \parallel C_3$ .

Штрихом показан уровень нулевого сигнала ЭПР.

огибающей этих компонент и практически не имеет угловой зависимости. Последнее показывает, что константы ССТС, равные примерно расстоянию между соседними компонентами ССТС, также являются практически изотропными (точнее, их анизотропная часть значительно меньше изотропной). В данном случае удается определить лишь один параметр ССТС  $A_{||}^i \approx 1.5$  мТл, который имеет смысл среднего эффективного взаимодействия, поскольку точно неизвестно, взаимодействием с какими ядрами он обусловлен. Из рис. 2 видно, что половина производной широкой линии состоит приблизительно из 13 эквидистантных компонент, т. е. линия ЭПР  $O^-$  представляет собой огибающую  $\sim 25$  компонент ССТС (12+1+12). Из анализа структуры  $LiNbO_3$  следует, что каждый ион  $O^{2-}$  имеет в ближайшем окружении 2 иона  $Nb^{5+}$  и 2 иона  $Li^+$ , находящихся внутри их соседних кислородных октаэдров. Таким образом, дырка, захваченная в состояние  $O^-$ , может взаимодействовать с двумя ядрами  $^{93}Nb$  и двумя ядрами  $^{7}Li$  (ядра  $^{6}Li$  из-за их малой распространенности можно не учитывать) либо двумя ядрами  $^{93}Nb$  и одним ядром  $^{7}Li$ , если стабилизирующим фактором для захвата дырки является соседняя вакансия  $Li^+$  [5]. В общем случае, если константы ССТС для ядер  $^{93}Nb$  и  $^{7}Li$  различны, число компонент ССТС  $n_1 = (2I_{Nb} + 1)(2I_{Li} + 1)$ , где  $I_{Nb}, I_{Li}$  — суммарные спины ближайших ядер  $Nb$  и  $Li$ . Если константы ССТС с этими ядрами близки, число компонент ССТС  $n_2 = 2I_z + 1$ , где  $I_z$  — суммарный спин ближайших ядер, включая  $Nb$  и  $Li$ . Таким образом, в случае двух ядер  $Nb$  и двух ядер  $Li$  в ближайшем окружении  $O^-$   $n_1 = (2 \cdot 9 + 1) \cdot (2 \cdot 3 + 1) = 133$ ,  $n_2 = 2(2 \cdot \frac{9}{2} + 2 \cdot \frac{3}{2}) + 1 = 25$ ; для двух ядер  $Nb$  и одного ядра  $Li$   $n'_1 = 76$ ,

$n'_2=22$ . Из экспериментально наблюдаемого спектра (рис. 2) видно, что число компонент ССТС нечетно (имеется компонента ССТС в центре линии — точке пересечения производной уровня нулевого сигнала ЭПР) и близко к 25. Сравнивая экспериментальные данные с приведенными выше рассуждениями, приходим к выводу, что в ближайшем окружении  $O^-$  вероятнее всего имеются два ядра Nb и два ядра Li. Это ставит под сомнение предположение [5] о соседней с  $O^-$  вакансиией Li в качестве стабилизирующего фактора для захвата дырки. Однако причина захвата дырки в определенное положение с образованием  $O^-$  остается неясной. Ответ на этот вопрос может быть получен при исследовании двойного электронно-ядерного резонанса центра  $O^-$ , откуда обычно удается получить более определенную и однозначную информацию о ближайшем (и более далеком) окружении парамагнитного центра.

В табл. 1 представлены данные по относительным интегральным интенсивностям спектров ЭПР  $O^-$  и  $Nb^{4+}$  ( $J(O^-)/J(Nb^{4+})$ ), которые пропорциональны относительным концентрациям  $[O^-]/[Nb^{4+}]$  соответствующих центров, образованных в процессе  $\gamma$ -облучения в различных образцах  $LiNbO_3$ . Видно, что а)  $[O^-] \neq [Nb^{4+}]$ ; б)  $[O^-]/[Nb^{4+}] \gg 1$  у большинства исследованных кристаллов; в)  $[O^-]/[Nb^{4+}]$  существенно зависит от того, легирован кристалл или не легирован, и от типа легирующей примеси; г) центры  $O^-$  и  $Nb^{4+}$  практически не образуются в кристаллах, легированных  $Mn^{2+}$  и  $Ni^{2+}$ .

Поскольку кристалл в целом должен оставаться электрически нейтральным, из «а» и «б» следует, что наряду с  $O^-$  и  $Nb^{4+}$  при  $\gamma$ -облучении должны образовываться (или уже существовать в кристалле заранее) дополнительные дефекты, не дающие сигнала ЭПР и являющиеся преимущественно ловушками для электронов. Такими центрами в первую очередь могут быть 2-, 3- и более валентные примеси, замещающие одновалентные ионы  $Li^+$  и имеющие избыточный по отношению к решетке локально не скомпенсированный положительный заряд. Примерами таких примесей в табл. 1 являются  $Mn$ ,  $Ni$ ,  $Cu$ . Увеличение сигнала  $Mn^{2+}$ , появление слабого сигнала  $O^-$  и отсутствие сигнала  $Nb^{4+}$  можно связать с перезарядкой типа  $Mn^{3+} + e \rightarrow Mn^{2+}$ , а падение сигнала  $Cu^{2+}$  с перезарядкой  $Cu^{2+} + e \rightarrow Cu^+$ . Однако наиболее сильной электронной ловушкой среди исследованных примесей, по-видимому, является  $Ni^{2+}$ , который, захватывая электрон, превращается в  $Ni^+$ , причем сигнал ЭПР  $Ni^+$  при этом возрастает в сотни раз, так что практически весь введенный  $Ni^{2+}$  превращается в  $Ni^+$ , причем ЭПР дырочных центров при этом не наблюдается. Вопрос о причине неравенства концентраций электронных и дырочных центров после  $\gamma$ -облучений является таким же, как и вопрос о природе компенсаторов примесных ионов в зарядовых состояниях, не равных заряду замещаемых ионов, т. е. практически всех исследованных ионов (табл. 1). Предполагается, что такими компенсаторами могут быть вакансии  $O^{2-}$ ,  $Li^+$ ,  $Nb^{5+}$ , антиструктурные дефекты ( $Nb^{5+}$  на месте  $Li^+$  и наоборот) и т. п. В случае  $\gamma$ -облучения вероятными источниками электронов могут быть  $F$ - и  $F^+$ -центры. Кроме того, предполагается, что центры могут перезаряжаться до состояния  $Nb^{3+}$ , которое непарамагнитно.

Следует отметить, что концентрация парамагнитных центров  $O^-$  и  $Nb^{4+}$  не коррелирует с окраской (потемнением) всех кристаллов после  $\gamma$ -облучения. Вероятнее всего это связано с образованием  $F$ -центров и других непарамагнитных более сложных дефектов, имеющих широкие полосы поглощения в видимой области спектра [2]. Аналогичные эффекты известны, например, для щелочно-галоидных кристаллов.

Модели примесных центров  $Ni^+$  и  $Cu^{2+}$  были окончательно установлены в [6]. Важной деталью этих моделей является отсутствие каких-либо компенсаторов (например, вакансий  $Li^+$  или  $O^{2-}$ ) в ближайшем окружении этих центров, т. е. они локально не компенсированы. Это согласуется с обсужденными выше данными по активному участию примесей  $Ni$ ,  $Cu$ , а также  $Mn$  в процессах дефектообразования в  $LiNbO_3$  (табл. 1).

Из полученных данных можно предположить, что ионы  $\text{Cr}^{3+}$  локально компенсированы и поэтому в процессах дефектообразования при  $\gamma$ -облучении активно не участвуют — интенсивность их спектра ЭПР не изменяется (табл. 1).

При введении Ti наблюдается максимальное соотношение  $[\text{O}^-]/[\text{Nb}^{4+}]$  после  $\gamma$ -облучения, сопровождаемое появлением спектра ЭПР  $\text{Ti}^{3+}$  (рис. 3). Отсюда можно заключить, что примесь Ti входит в состояние  $\text{Ti}^{4+}$  ( $3d^0$ ) и является эффективной ловушкой для электронов, переходя в состояние  $\text{Ti}^{3+}$  ( $3d^1$ ) и препятствуя тем самым образованию центров  $\text{Nb}^{4+}$ . Это способствует образованию при  $\gamma$ -облучении преимущественно центров  $\text{O}^-$ , что и наблюдается экспериментально.

Отсутствие перезарядки исследованных нами редкоземельных ионов, за исключением Tb, после  $\gamma$ -облучения (табл. 1) вероятнее всего связано не только с особенностями компенсации их избыточных по отношению к замещаемым ионам решетки зарядов, но и обусловлено значительно

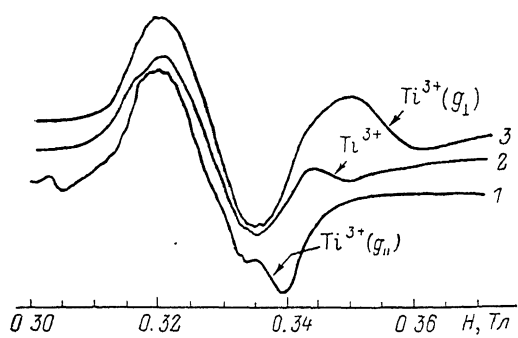


Рис. 3. Спектр ЭПР, наблюдаемый после  $\gamma$ -облучения в  $\text{LiNbO}_3$ ; Ti.

Наряду со спектром  $\text{O}^-$  видна линия ЭПР  $\text{Ti}^{3+}$ , отмеченная стрелками;  $g_{\parallel} \approx 1.966$ ,  $g_{\perp} \approx 1.862$ . 1 —  $\theta = 0^\circ$  ( $H \parallel C_3$ ), 2 —  $40^\circ$ , 3 —  $90^\circ$ .

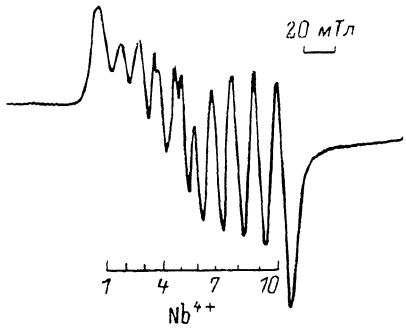


Рис. 4. Спектр ЭПР  $\text{Nb}^{4+}$ , наблюденный после вакуумного отжига и последующего «обесцвечивания» при 77 К и измерения при 77 К в образце № 1 при  $H \parallel C_3$ .

меньшим влиянием (по сравнению с  $3d$ -электронами) внутрикристаллических полей на  $4f$ -электроны и в связи с этим меньшей склонностью редкоземельных ионов к электрической перезарядке.

Отметим, что все дефекты, включая и непарамагнитные, ответственные за потемнение  $\text{LiNbO}_3$  при  $\gamma$ -облучении, отжигаются при нагреве кристаллов до комнатной температуры. Об этом свидетельствуют исчезновение сигналов ЭПР  $\text{O}^-$  и  $\text{Nb}^{4+}$ , а также восстановление первоначальной окраски кристаллов. Исключение среди исследованных кристаллов составляет  $\text{LiNbO}_3 : \text{Ni}$ , в котором исчезновение образованных при  $\gamma$ -облучении центров  $\text{Ni}^{4+}$  и восстановление первоначальной окраски кристалла происходит при  $T \geq 415$  К. В этом смысле поведение  $\text{Ni}^{2+}$  в  $\text{LiNbO}_3$  подобно поведению Mg [2] как эффективной электронной ловушки, стабильной при комнатной температуре. Не исключено, что при соответствующих концентрациях примеси Ni подобно примеси Mg может также приводить к повышению сопротивляемости  $\text{LiNbO}_3$  оптическому разрушению при комнатной температуре. Интересно отметить, что подавляющее большинство исследованных ионов в  $\text{LiNbO}_3$  (табл. 1) имеет такое же зарядовое состояние, каким оно было в оксиде, добавляемом в шихту при выращивании кристаллов.

Эксперименты по исследованию ЭПР в  $\text{LiNbO}_3$  после вакуумного отжига и последующего «обесцвечивания» при  $T = 77$  К были проведены в нелегированных кристаллах № 1 и 2 и легированных Ni и Cu (табл. 2). Видно, что общим результатом такой обработки кристаллов является появление сигнала ЭПР, обусловленного электронными ловушками  $\text{Nb}^{4+}$  (рис. 4), не сопровождаемого, как это наблюдалось в случае  $\gamma$ -облучения [2], сигналом ЭПР каких-либо дырочных ловушек типа  $\text{O}^-$ . Предпола-

Таблица 2

Результаты экспериментов по вакуумному отжигу образцов  $\text{LiNbO}_3$  при  $1000^\circ\text{C}$  в течение 1 ч, последующему «обесцвечиванию» при  $77\text{ K}$  с помощью ультрафиолетовой подсветки в течение 5–10 мин и измерений при  $77\text{ K}$

Примесь	№ 1	№ 2	$\text{Ni}^{2+}$	$\text{Cu}^{2+}$
До отжига	C-1	C-2	$\text{Ni}^+$ $\text{Mn}^{3+}$	$\text{Cu}^{2+}$ C-1
После отжига	C-1	C-2	$\text{Ni}^+$ $\text{Mn}^{2+}$	$\text{Nb}^{4+}$
После УФ-облучения при $77\text{ K}$	$\text{Nb}^{4+}$	C-2 $\text{Nb}^{4+}$	$\text{Mn}^{2+}$ $\text{Nb}^{4+}$	$\text{Nb}^{4+} \times (4 \div 5)$
Отогрев до комнатной температуры	*	C-2 $\text{Nb}^{4+} \times 0.01$	$\text{Mn}^{2+}$	Нет ЭПР
$\gamma$ -облучение при $77\text{ K}$	O-	C-2 O-	$\text{Ni}^+$	O-
	$\text{Nb}^{4+} \times 4$	Nb <sup>4+</sup>	$\text{Mn}^{2+}$	$\text{Nb}^{4+}$
	$J(\text{O}^-)/J(\text{Nb}^{4+}) \approx 1.5$			

П р и м е ч а н и е. С-2 — спектр ЭПР неконтролируемых примесей  $\text{Mn}^{3+}$ ,  $\text{Cr}^{3+}$ . \* — образец не отогревался; после двухнедельного хранения при  $77\text{ K}$  сигнал ЭПР  $\text{Nb}^{4+}$  уменьшился в 10 раз. (См. пояснение к табл. 1).

гается, что источником электронов здесь являются  $F$ -центры, которые интенсивно образуются при вакуумном отжиге. При УФ-подсветке электроны  $F$ -центров (один или оба) могут возбуждаться в зону проводимости  $\text{LiNbO}_3$  и захватываться в подходящих местах  $\text{Nb}^{5+}$ , превращая их в  $\text{Nb}^{4+}$  — источник сигнала ЭПР. Факт отсутствия сигнала ЭПР  $F^+$ -центров в  $\text{LiNbO}_3$  вероятнее всего не связан с большой шириной соответствующей линии ЭПР, как это предполагается в [7] (поскольку неясна причина, по которой электрон  $F^+$ -центра должен быть значительно более делокализован и взаимодействовать с большим числом ядер по сравнению с центром O<sup>-</sup>). Он может не наблюдаться вследствие малой концентрации  $F^+$ -центров, если предположить, что под действием УФ-облучения  $F$ -центры преимущественно отдают по два электрона, превращаясь в непарамагнитные  $F^{2+}$ -центры. Против интерпретации модели  $\text{Nb}^{4+}$  как  $F^+$ -центра косвенно свидетельствуют наши эксперименты по повторному  $\gamma$ -облучению образцов  $\text{LiNbO}_3$ , прошедших цикл вакуумного отжига, «обесцвечивания» и отогрева до комнатной температуры (табл. 2). Поскольку после вакуумного отжига в образцах  $\text{LiNbO}_3$  увеличивается концентрация вакансий кислорода, следовало бы ожидать увеличения сигнала ЭПР  $\text{Nb}^{4+}$  (т. е.  $F^+$ -центров) по сравнению с исходными образцами, которые, как уже отмечалось выше, были отожжены в кислороде с целью улучшения стехиометрии за счет уменьшения вакансий кислорода. Эксперимент (табл. 2), однако, показывает, что после повторного  $\gamma$ -облучения образцов, прошедших указанный цикл, сигналы ЭПР  $\text{Nb}^{4+}$  и O<sup>-</sup> оказались значительно слабее, чем после  $\gamma$ -облучения исходных образцов (табл. 1). Следовательно, вакуумный отжиг приводит к устранению стабилизирующих (или благоприятных) факторов для образования центров  $\text{Nb}^{4+}$  и O<sup>-</sup>, по-видимому, за счет образования более эффективных, но непарамагнитных ловушек для электронов и дырок, которыми могут быть те же нейтральные вакансики кислорода ( $F$ -центры), отдавшие оба электрона (или захватившие две дырки), и нейтральные вакансики Li<sup>+</sup>, которые могут отдавать дырки (или захватывать электроны). Здесь можно высказать предположение, что отсутствие ЭПР от нейтральных вакансий Li<sup>+</sup>, которые содержат по одной дырке, имеющей неспаренный спин, по-видимому, обусловлено тем, что каждая дважды положительно заряженная вакансия O<sup>2-</sup> локально

не компенсируется двумя близко расположенным дуг от друга, но удаленным от вакансии  $O^{2-}$  однократно отрицательно заряженными вакансиями  $Li^+$ . В этом случае после захвата дырок их спины оказываются спаренными из-за обменного взаимодействия друг с другом и такая пара вакансий  $Li^+$ , содержащих две дырки, оказывается непарамагнитной.

Фактически такое рассуждение эквивалентно предположению, что при вакуумном отжиге не образуются отдельно вакансии  $O^{2-}$  ( $F$ -центры) и  $Li^+$ , а из кристалла целиком удаляются молекулы  $Li_2O$ . Такое предположение разумно также с точки зрения отсутствия ЭПР  $F^+$ -центров и затруднений с идентификацией  $F$ -центров в  $LiNbO_3$ .

Интересной особенностью является исчезновение после отжига в вакууме сигнала ЭПР  $Cu^{2+}$  в  $LiNbO_3 : Cu$ , сопровождаемого появлением слабого сигнала  $Nb^{4+}$ , чего в других исследованных образцах не наблюдалось. Сигнал ЭПР  $Cu^{2+}$  ( $3d^9$ ) может исчезать как при захвате электрона  $Cu^{2+}$  ( $3d^9$ ) +  $e \rightarrow Cu^+ (3d^{10})$ , так и при его удалении  $Cu^{2+} (3d^9) - e \rightarrow Cu^{3+} (3d^8)$  — состояние, аналогичное  $Ni^{2+}$ , которое имеет в  $LiNbO_3$  большое начальное расщепление уровней [8], препятствующее наблюдению ЭПР в  $X$ -диапазоне, где проводилось исследование. Наиболее вероятной является перезарядка  $Cu^{2+} \rightarrow Cu^+$ . Это согласуется с данными ЭПР после  $\gamma$ -облучения, а также подтверждает выводы, полученные из спектров оптического поглощения облученных рентгеновскими лучами и редуцированных кристаллов  $LiNbO_3 : Cu$  [9]. Появление слабого сигнала  $Nb^{4+}$  одновременно с исчезновением  $Cu^{2+}$  (табл. 2) после вакуумного отжига не является специфичным для  $LiNbO_3 : Cu$ . Подобный эффект наблюдался в специально нелегированных кристаллах  $LiNbO_3$  [10] и свидетельствует о том, что в процессе вакуумного отжига возможен перенос электронов к центрам  $Nb^{4+}$ . Хотя происхождение источника этих электронов (как и в случае «обесцвечивания») пока окончательно не выяснено, для нас здесь важно, что ими по крайней мере не являются центры  $Cu^{2+}$ , т. е. исключается перезарядка  $Cu^{2+}$  в  $Cu^{3+}$ .

Таблица 3

Радиоспектроскопические характеристики центра  $Nb^{4+}$

Метод получения	$g_{\parallel}$	$g_{\perp}$	$A_{\parallel}, \text{ см}^{-1}$	$A_{\perp}, \text{ см}^{-1}$	Ссылка
Вакуумный отжиг + «обесцвечивание»	1.944	1.789	$1.11 \cdot 10^{-2}$	$2.17 \cdot 10^{-2}$	Наст. раб.
Рентгеновское облучение при 20 К	1.90	1.72	$1.1 \cdot 10^{-2}$	$2.3 \cdot 10^{-2}$	[8]

Радиоспектроскопические характеристики спектра ЭПР  $Nb^{4+}$  и их сравнение с литературными данными представлены в табл. 3. Некоторое отличие значений  $g_{\perp}$  и  $A_{\perp}$  не связано со способом получения центров  $Nb^{4+}$ , как установлено нами при сравнении спектров ЭПР в  $\gamma$ -облученных и редуцированных образцах, а вероятнее всего обусловлено приближенным способом определения нами этих значений из положения центра тяжести спектра ЭПР и среднего расщепления при  $H \perp C_3$  и  $H \parallel C_3$ . При этом заранее можно ожидать наибольших ошибок в определении  $g_{\perp}$  и  $A_{\perp}$ , где спиновые состояния смешаны и истинное значение  $g_{\perp}$  смещено от центра тяжести спектра за счет вклада от сверхтонкого взаимодействия, характеризуемого  $A_{\perp}$ , а линии СТС неэквидистантны.

Более принципиальным является подтверждение аксиальной относительно оси  $C_3$  симметрии спектра ЭПР  $Nb^{4+}$ , полученного после вакуумного отжига, аналогично тому, как это установлено в [8] для  $Nb^{4+}$ , полученного после радиационных воздействий. Отсюда можно сделать вывод, что если для стабилизации  $Nb^{4+}$  необходим определенный дефект, то он должен находиться по соседству и располагаться на оси  $C_3$ . Поскольку в  $LiNbO_3$  вдоль оси  $C_3$  чередуются ионы  $Li^+$  и  $Nb^{5+}$ , в бездефектной решетке

у каждого иона  $Nb^{5+}$  имеются в этом направлении два соседних иона  $Li^+$ . Стабилизирующими дефектами, не нарушающими аксиальную симметрию центра  $Nb^{5+}$ , могут быть, например, двухзарядные ионы (типа  $Mg^{2+}$ ), однозарядные ионы (типа  $Na$ ,  $K$ ), замещающие один из ионов  $Li^+$ , а также нейтральная (по отношению к решетке) вакансия  $Li^+$  на месте одного из ионов  $Li^+$ .

Авторы благодарны В. Г. Грачеву за плодотворное обсуждение результатов работы.

#### С п и с о к л и т е р а т у р ы

- [1] Schmidt F., Voszka R. // Cryst. Res. and Techn. 1981. V. 16. N 11. P. K127—K128.
- [2] Sweeney K. L., Halliburton L. E., Bryan D. A., Rice R. R., Crerson R., Tomaszchke H. E. // J. Appl. Phys. 1985. V. 57. N 4. P. 1036—1044.
- [3] Schirmer O. F., Von der Linde D. // Appl. Phys. Lett. 1978. V. 33. N 1. P. 35—38.
- [4] Halliburton L. E., Sweeney K. L., Chen C. Y. // Nucl. Instr. and Methods in Phys. Res. 1984. V. B1. P. 344—347.
- [5] Sweeney K. L., Halliburton L. E., Bryan D. A., Rice R. R., Crerson R., Tomaszchke H. E. // Appl. Phys. Lett. 1984. V. 45. N 7. P. 805—807.
- [6] Корради Г., Полгар К., Бугай А. А., Заридкий И. М., Ракитина Ю. Г., Грачев В. Г., Дерюгина Н. И. // ФТТ. 1986. Т. 28. № 3. С. 739—748.
- [7] Sweeney K. L., Halliburton L. E. // Appl. Phys. Lett. 1983. V. 43. N 4. P. 336—338.
- [8] Мирзаханян А. А. // ФТТ. 1981. Т. 23. № 8. С. 2452—2453.
- [9] Arizmendi L. A., Cabreja J. M., Agullo-Lopez F. // J. Phys. C: Sol. St. Phys. 1984. V. 17. N 2. P. 515—529.
- [10] Ketchum J. L., Sweeney K. L., Halliburton L. E. // Phys. Lett. 1983. V. 94A. N 9. P. 450—453.

Институт полупроводников АН УССР  
Киев

Поступило в Редакцию  
22 июля 1988 г.  
В окончательной редакции  
22 марта 1989 г.